

# Banquier d'affaires - quel parcours !

Arthur Miguel et Madalina Olteanu

Université Paris Dauphine PSL

Travail réalisé en collaboration avec Rosalie Milner

14 octobre 2024

# Introduction

# Constats et objectif de la thèse

- **Des histoires similaires :**
  - ▶ Deux dynasties financières juives qui se développent au XIXe siècle et dont l'implantation est internationale.
- **Divergence dans les trajectoires suivies :**
  - ▶ Alors que Lazard voit les descendants de la famille fondatrice évincés de la direction dans les années 2000, la famille Rothschild, quant à elle, maintient un contrôle familial.
- **Objectif :**
  - ▶ En s'appuyant sur l'étude des sociétés de conseil Lazard Frères et Rothschild & Cie, comprendre comment chaque banque a répondu aux pressions de la concentration et de la mondialisation.

- La contradiction entre Lazard et Rothschild est **partielle**.
- **Rothschild** a suivi une trajectoire qui rejoint celle de **Lazard** sous beaucoup d'aspects :
  - ▶ Les profils sociologiques des cadres dirigeants des deux banques convergent.

# Hypothèse concernant les secteurs d'activité

- On s'attend à observer **deux phénomènes** en étudiant les carrières professionnelles de nos enquêtés sous l'angle des **secteurs d'activité** :
- **Une spécialisation dans le secteur financier** :
  - ▶ La spécialisation dans un secteur est typique des carrières des cadres dirigeants contemporains, caractérisées par une stabilité et une mobilité réduite.
  - ▶ Cette spécialisation permet de développer une expertise sectorielle, de bâtir un réseau solide et de maximiser les opportunités de promotion interne.
  - ▶ (Koch, Forgues, & Monties, 2017)
- **Le passage par la haute administration** :
  - ▶ En France, un certain nombre de cadres dirigeants commencent leur carrière dans la haute fonction publique avant de rejoindre le secteur privé, un phénomène connu sous le nom de **pantouflage**.
  - ▶ (Dudouet et al., 2024, p. 46-63)

# Construction de la base de données

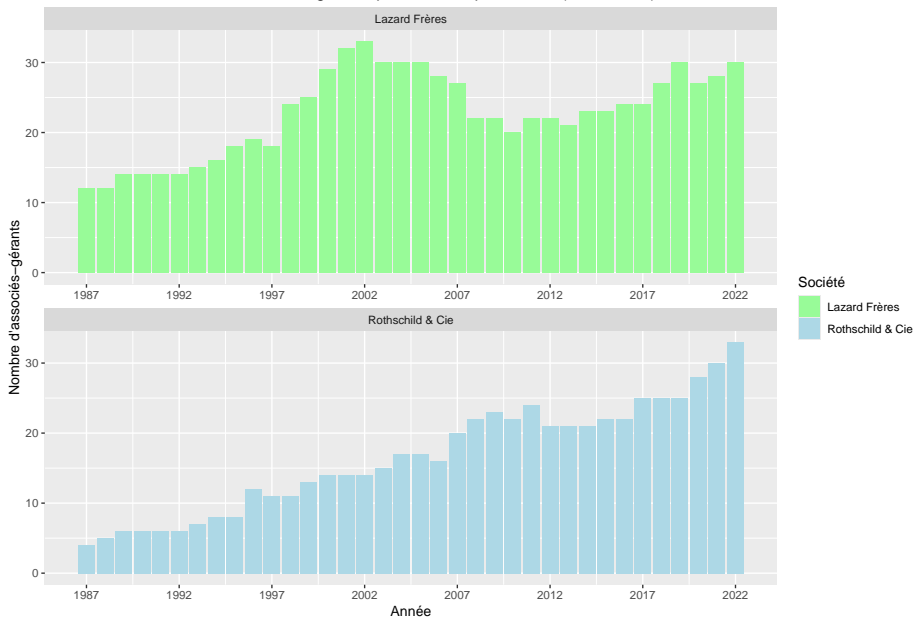
- **Construction d'une base de données prosopographiques :**
  - ▶ Recueil d'informations biographiques détaillées dans une base de données relationnelles, notamment sur les trajectoires professionnelles.
- **Sources principales :**
  - ▶ Who's who, LinkedIn, presse, sites internet des entreprises, Geneanet (origines sociales).

# Population - Informations générales

- **Total des individus** : 139
- **Critères de sélection** :
  - ▶ Les individus ont occupé le poste d'**associé-gérant** durant la période étudiée au sein des sociétés de conseil **Rothschild & Cie** et **Lazard Frères**.
  - ▶ On a inclus ceux ayant le **statut formel** d'associé-gérant au sein d'une société en commandite simple, ainsi que ceux portant le **titre** après la transformation de Lazard Frères en société anonyme.
- **Précisions supplémentaires** :
  - ▶ **Exhaustivité** : Toutes les personnes répondant aux critères sont incluses.
  - ▶ **Augmentation très forte** des effectifs sur la période étudiée.

# Population - Nombre d'associés-gérants par année

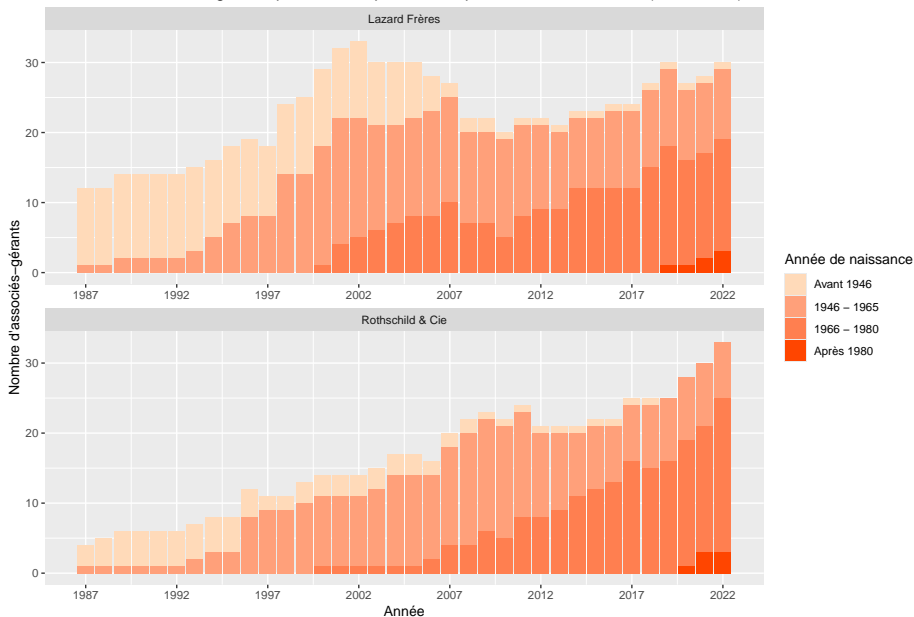
Nombre d'associés-gérants par année et par société (1987-2022)





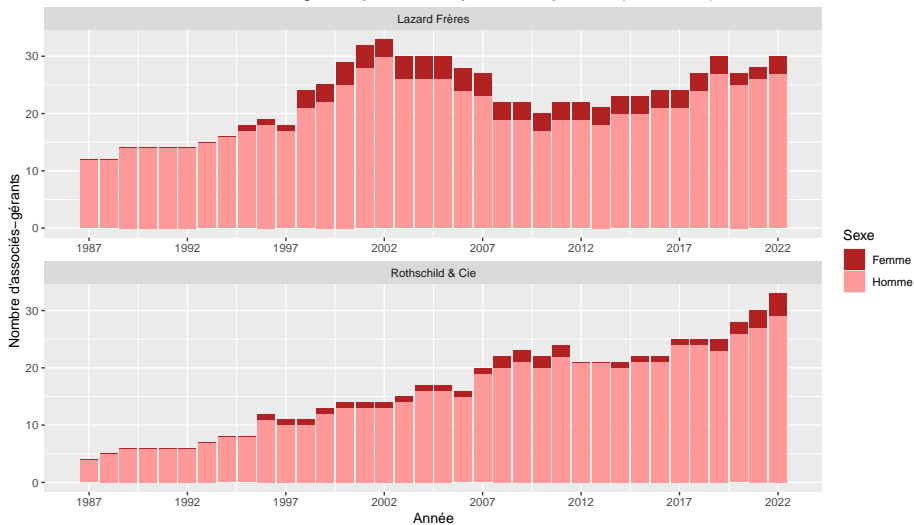
# Population - Répartition par génération

Nombre d'associés-gérants par année et par société, par année de naissance (1987-2022)



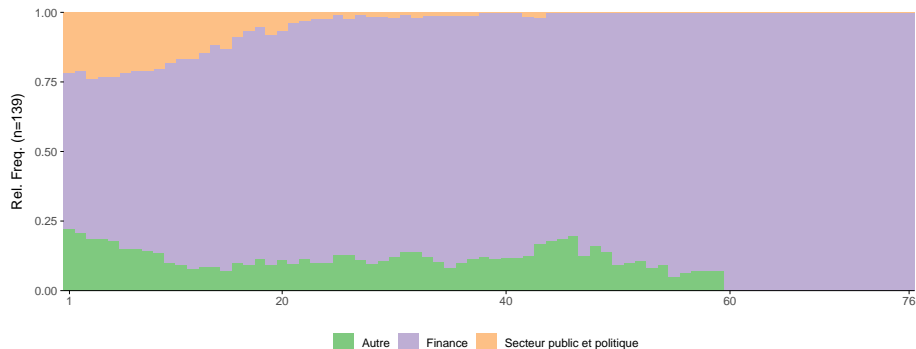
# Population - Répartition par sexe

Nombre d'associés-gérants par année et par société, par sexe (1987-2022)



# Quels outils pour l'analyse quantitative ?

- On se focalise dans la suite sur les trajectoires du point de vue du secteur d'activité.



- Analyse longitudinale ?
- Modèles probabilistes ?

# Un court passage par l'analyse longitudinale

- Approche exploratoire et holiste (Abbott, 1986).
- Les *clusters* sont extraits après calcul d'une matrice de dissimilarité entre les trajectoires et une étape de classification hiérarchique.
- **Quel choix pour la dissimilarité ?**
  - ▶ de très nombreuses propositions dans la littérature (Hamming, LCS,  $\chi^2$ , optimal matching, ...).
  - ▶ chaque distance est sensible à un ou plusieurs aspects : enchaînement des états, chronologie, durées de séjour.
  - ▶ certaines dissimilarités nécessitent des choix arbitraire de coûts (optimal matching).
  - ▶ en général, les trajectoires doivent être de même longueur. Dans notre cas, *les données sont censurées à droite*.

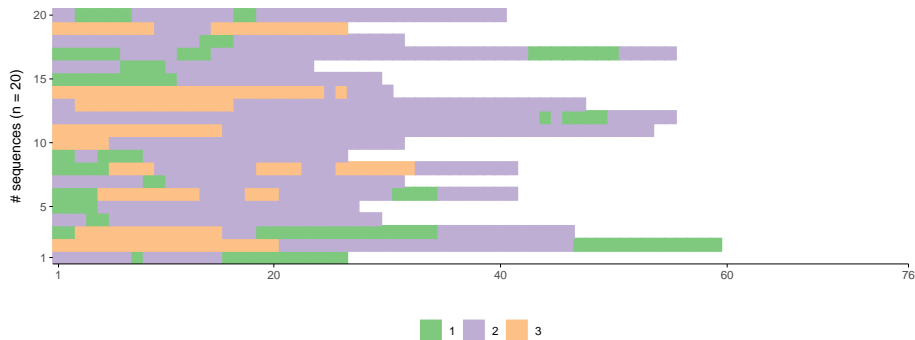
# L'approche probabiliste via des modèles markoviens

- Changer de point de vue et se focaliser sur la dynamique des trajectoires.
- Passer d'une approche qui considère la séquence comme une entité à analyser vers une approche qui décrit un processus pas à pas, et au cours duquel le passé a une influence sur la séquence.
- Partiellement intégré dans les matrices de coûts pour les distances OM.
- Modèle probabiliste, *génératif*.
- Permettent des valeurs manquantes, les trajectoires peuvent avoir des longueurs différentes.
- Permettent même l'imputation de données manquantes.

# Les processus semi-Markoviens pour le clustering de séquences

# Processus de renouvellement Markovien

- On souhaite modéliser des séquences de données **catégorielles**, **ordonnées** dans le temps, possiblement de **longueurs inégales**.



- Comment modéliser les transitions entre les différents états ?
- Comment modéliser les temps de séjour dans chaque état ?
- Chaines de Markov, semi-Markov, modèles de mélange, ...

## Processus de renouvellement Markovien - définition

- On considère un ensemble fini d'états  $\mathcal{S} = \{1, \dots, D\}$ .
- On peut caractériser une trajectoire via la suite  $(S_p, X_p)_{p \geq 1}$ , où les  $S_p$  désignent les états visités, et  $X_p$  le temps de séjour associé à chaque visite.
- **Pour modéliser les transitions entre les états**, on introduit une chaîne de Markov *homogène*  $(S_p)_{p \geq 1}$  sur  $\mathcal{S}$ , définie par sa matrice de transition  $\mathbf{P} = (p_{ij})_{i,j} \in [0, 1]^{D \times D}$

$$p_{ij} = \mathbb{P}(S_{p+1} = j | S_p = i), \forall i, j = 1, \dots, D,$$

et par les probabilités de l'état initial  $S_1$ ,  $\alpha = (\alpha_1, \dots, \alpha_D)$ ,

$$\alpha_i = \mathbb{P}(S_1 = i), \forall i = 1, \dots, D.$$



## Processus de renouvellement Markovien - définition

- **Pour modéliser les temps de séjour dans chaque état**, on introduit leur distribution (paramétrique) conditionnellement aux états visités :

$$\phi_{ij}(t) = (X_p \leq t | S_p = i, S_{p+1} = j), \forall t \in [0, \infty), i \neq j.$$

- Plusieurs choix parmi des distributions usuelles : Gamma, exponentielle, ...
- $(S_p, X_p)_p$  est un **processus de renouvellement Markovien** (Pyke, 1961).
- $(X_t)_t$  est un **semi-processus de Markov** (Barbu et al., 2008).

## Processus de renouvellement Markovien - définition

- On supposera  $p_{ii} = 0, \forall i = 1, \dots, D$  pour des questions d'identifiabilité.

- **Propriété de Markov** : pour tout  $t \in [0, \infty), i, j = 1, \dots, D,$

$$\mathbb{P}(X_p \leq t, S_{p+1} = j | S_p = i, S_{p-1}, \dots, S_1, X_{p-1}, \dots, X_1) = p_{ij} \phi_{ij}(t).$$

- **Modèle simplifié** :

- ▶ le temps de séjour dépend uniquement de l'état actuellement visité (*pas d'anticipation*) :

$$\mathbb{P}(X_p \leq t | S_p = i, S_{p+1} = j) = \mathbb{P}(X_p \leq t | S_p = i) = \phi_i(t).$$

- ▶ hypothèse réaliste dans de nombreux cas, et aussi moins de paramètres à estimer.

- **Paramètre du modèle** :

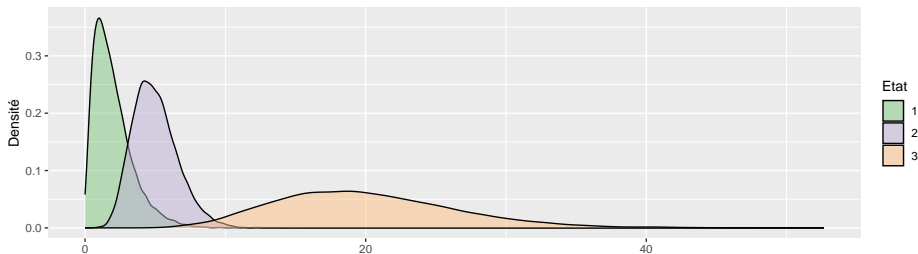
$$\theta = (\alpha, \mathbf{P}, (\gamma_i)_{i=1, \dots, D}) \in [0, 1]^D \times [0, 1]^{D \times D} \times \mathbb{R}^{D \times L}.$$

## Exemple sur des données simulées

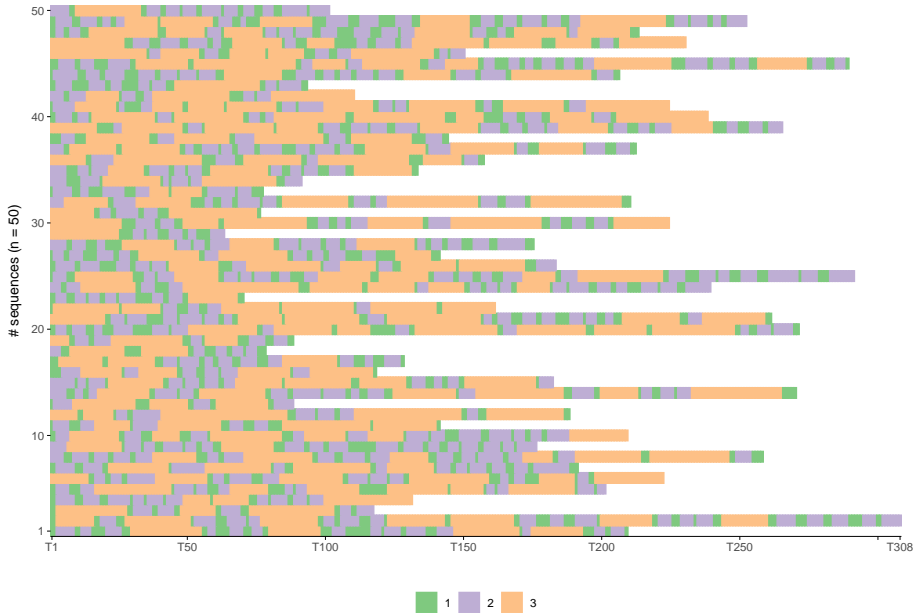
- Probabilités initiales :  $\alpha = (0.5, 0.2, 0.3)$ .
- Matrice de transition

$$\mathbf{P} = \begin{pmatrix} 0 & 0.8 & 0.2 \\ 0.8 & 0 & 0.2 \\ 1 & 0 & 0 \end{pmatrix}$$

- Distribution des temps de séjour (famille Gamma) :



# Exemple sur des données simulées



## Et si on a plusieurs populations ?

- Dans un *contexte de données hétérogènes*, on peut considérer que les trajectoires observées ont été engendrées par plusieurs processus semi-Markoviens, chacun étant déterminé par un jeu de paramètres différent et étant responsable pour un sous-ensemble des trajectoires observées (**une sous-population**).
- L'un peut ainsi définir des **mélanges de processus semi-Markov**, (Cardot et. al, 2019).
- On considère  $G$  sous-populations, avec des poids théoriques  $\pi = (\pi_1, \dots, \pi_G)$ .
- Chaque trajectoire est la réalisation d'un processus semi-Markovien associé à une sous-population.

# Mélange de processus semi-Markoviens

Pour générer une nouvelle trajectoire :

- choisir une sous-population  $Z \in \{1, \dots, G\}$  selon une loi multinomiale  $\mathcal{M}(\pi, 1)$ .
- selon la valeur  $Z = g$ , choisir le jeu de paramètres associé  $\theta^g = (\alpha^g, \mathbf{P}^g, (\gamma_i^g)_{i=1, \dots, D})$ .
- engendrer un trajectoire selon le processus semi-Markovien de paramètre  $\theta^g, (S_p^g, X_p^g)_{p \geq 1}$ .

Paramètres du modèle global :

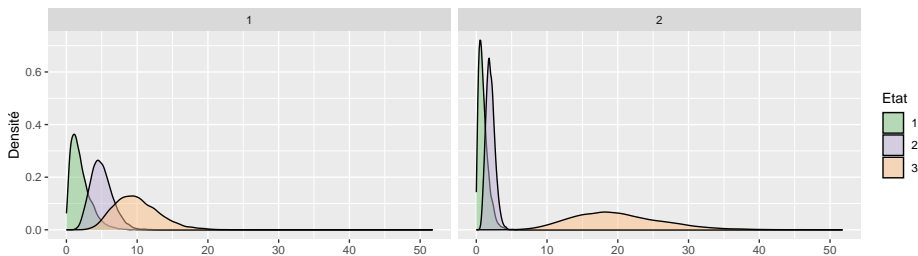
$$\pi = (\pi_1, \dots, \pi_G), (\alpha^g)_{g=1, \dots, G}, (\mathbf{P}^g)_{g=1, \dots, G}, (\gamma_i^g)_{i=1, \dots, D; g=1, \dots, G}$$

## Exemple sur des données simulées

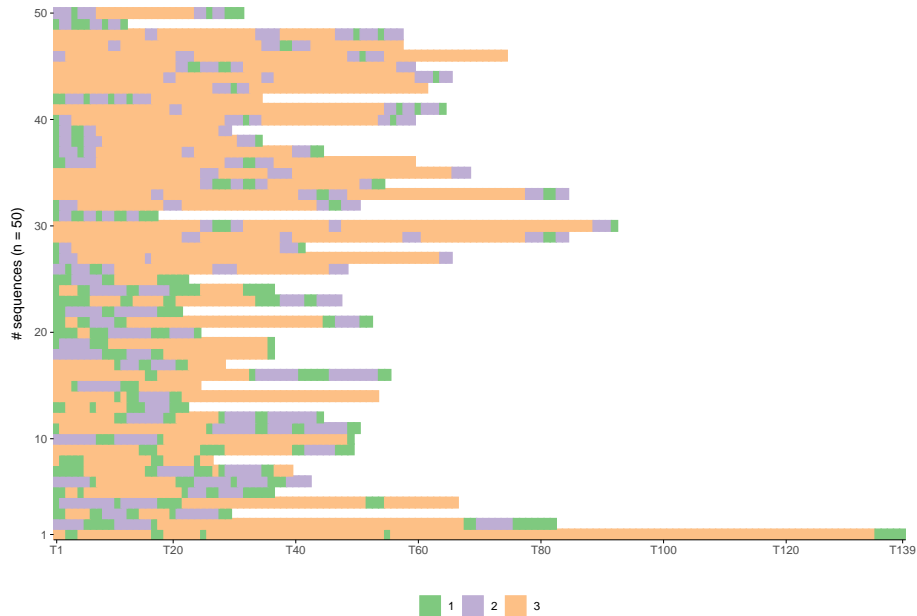
- Poids des sous-populations :  $\pi_1 = \pi_2 = 0.5$ .
- Probabilités initiales :  $\alpha^1 = \alpha^2 = (0.5, 0.2, 0.3)$ .
- Matrice de transition

$$\mathbf{P}^1 = \begin{pmatrix} 0 & 0.5 & 0.5 \\ 1 & 0 & 0 \\ 1 & 0 & 0 \end{pmatrix}, \quad \mathbf{P}^2 = \begin{pmatrix} 0 & 1 & 0 \\ 0.5 & 0 & 0.5 \\ 0 & 1 & 0 \end{pmatrix}$$

- Distribution des temps de séjour (famille Gamma) :



# Exemple sur des données simulées





# Et dans la vraie vie ?

- **On ne dispose que des données !**
- On souhaite inférer et calculer :
  - ▶ le nombre de sous-populations  $G$  ;
  - ▶ les poids des sous-populations  $\pi_g$  ;
  - ▶ les probabilités initiales pour chaque sous-population  $\alpha^g$  ;
  - ▶ les matrices de transition pour chaque sous-population  $\mathbf{P}^g$  ;
  - ▶ les paramètres des distributions des temps de séjour dans chaque sous-population  $\gamma^g$  ;
  - ▶ **mais aussi** la sous-population la plus vraisemblable pour chaque trajectoire.

# Et dans la vraie vie ?

- **Comment ?**

- ▶ maximisation de la vraisemblance basée sur un algorithme EM ;
- ▶ le nombre de sous-populations  $G$  doit être choisi avec un critère de vraisemblance pénalisée (BIC, ...).

- **Quel intérêt ?**

- ▶ **clustering** implicite par l'affectation de chaque trajectoire à la sous-population la plus probable ;
- ▶ interprétabilité des clusters grâce aux paramètres estimés ;
- ▶ pas de contrainte sur la longueur des trajectoires ;
- ▶ modèle génératif : on peut engendrer de nouvelles trajectoires, simuler la suite, ...
- ▶ possibilité d'inclure des covariables.

## Population étudiée - trois clusters

## Trois clusters - Paramètres estimés

- Poids des classes  $\hat{\pi}_1, \hat{\pi}_2, \hat{\pi}_3$ :

Classe	
1	0.19
2	0.46
3	0.35

- Probabilités initiales des 3 états dans chaque classe,  $(\hat{\alpha}_\ell^g)_{g=1,2,3, \ell=1,2,3}$  :

	Autre	Finance	Sect. public & politique
1	0.05	0.82	0.13
2	0.34	0.24	0.41
3	0.15	0.85	0.00

# Trois clusters - Paramètres estimés - Cluster 1

- Matrice de transition  $\hat{\mathbf{P}}$  :

	Autre	Finance	Sect. public & politique
Autre	0.0000	1.0000	0
Finance	1.0000	0.0000	0
Sect. public & politique	0.1227	0.8773	0

- Distribution des temps de séjour  $\Gamma(\hat{a}, \hat{\lambda})$  :

Etat			Moyenne	Variance
Autre	0.11	0.06	1.73	28.12
Finance	28.51	0.58	49.27	85.14
Sect. public & politique	0.21	0.15	1.36	9.00

## Trois clusters - Paramètres estimés - Cluster 2

- Matrice de transition  $\hat{\mathbf{P}}$  :

	Autre	Finance	Sect. public & politique
Autre	0.0000	0.8123	0.1877
Finance	0.7907	0.0000	0.2093
Sect. public & politique	0.2738	0.7262	0.0000

- Distribution des temps de séjour  $\Gamma(\hat{a}, \hat{\lambda})$  :

Etat			Moyenne	Variance
Autre	0.93	0.13	7.02	52.77
Finance	1.70	0.14	12.41	90.68
Sect. public & politique	0.69	0.13	5.19	39.28

## Trois clusters - Paramètres estimés - Cluster 3

- Matrice de transition  $\hat{\mathbf{P}}$  :

	Autre	Finance	Sect. public & politique
Autre	0.0000	1.0000	0
Finance	1.0000	0.0000	0
Sect. public & politique	0.9992	0.0008	0

- Distribution des temps de séjour  $\Gamma(\hat{a}, \hat{\lambda})$  :

Etat			Moyenne	Variance
Autre	3.86	0.36	10.79	30.13
Finance	18.77	0.67	28.03	41.87
Sect. public & politique	0.05	0.05	1.17	25.45

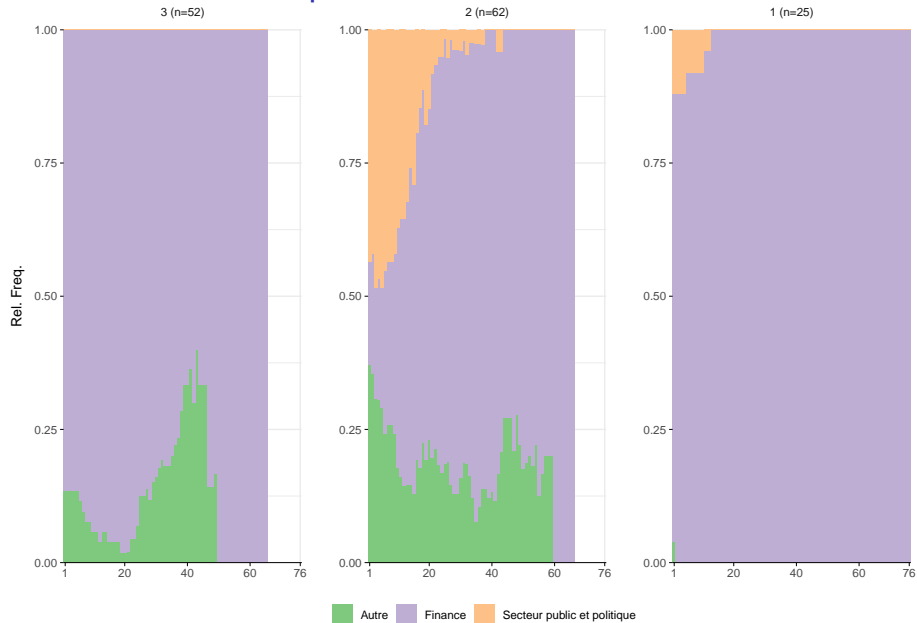
## Trois clusters - composition

- Informations générales sur les trois clusters :

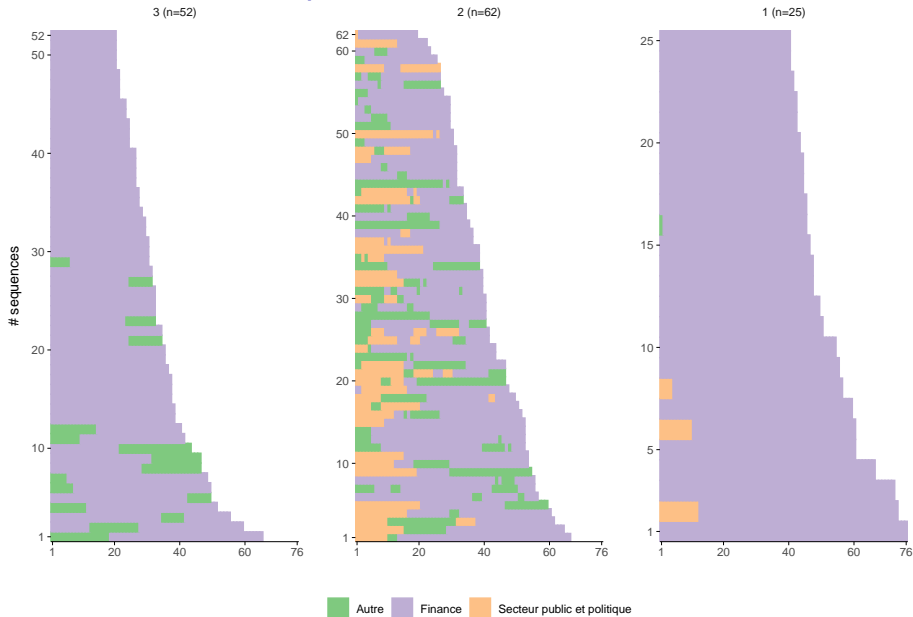
Cluster	Nombre d'individus	Proportion (%)
1	25	18.0
2	62	44.6
3	52	37.4



# Trois clusters - composition



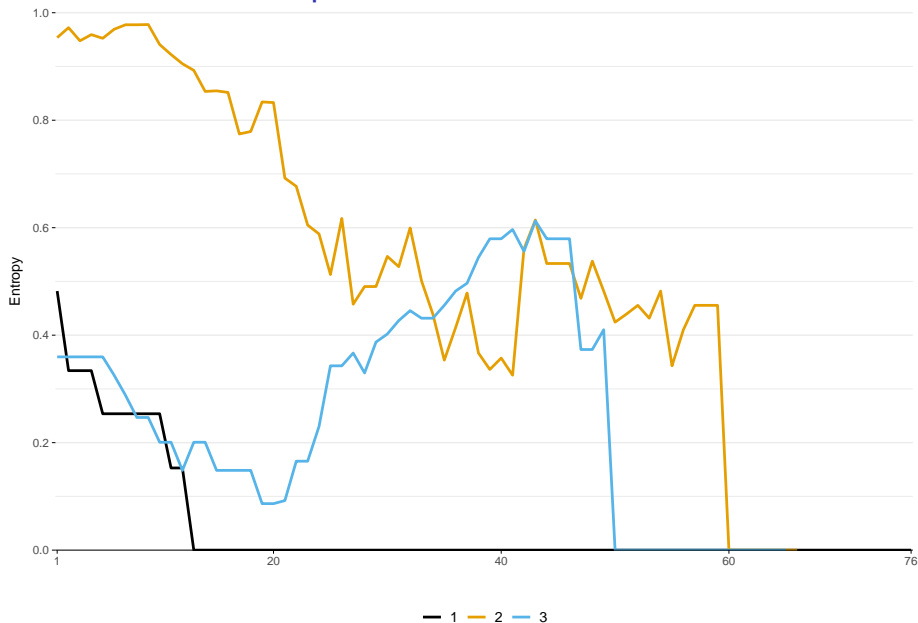
# Trois clusters - composition



# Trois clusters - composition



# Trois clusters - composition



# Interprétation générale des trois clusters

- **Cluster 1 :**

Ce cluster regroupe des individus présentant une **spécialisation très forte dans la finance**, avec peu ou pas de transitions vers d'autres secteurs.

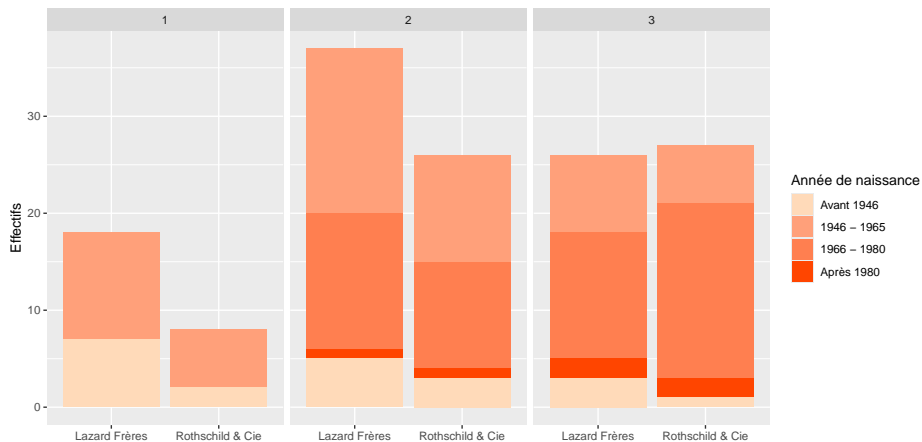
- **Cluster 2 :**

Ce cluster est le plus diversifié en termes de **transitions entre les secteurs**. Les individus peuvent débiter dans le **secteur public et politique** ou dans un **autre secteur**, puis passer à la **finance**, avec des durées de séjour variables.

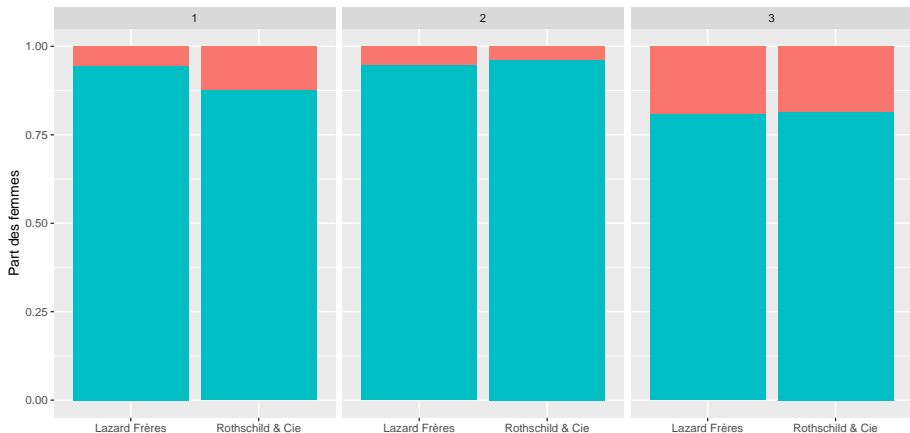
- **Cluster 3 :**

Bien que ce cluster soit également **très concentré sur la finance**, il se distingue par des **transitions notables** vers les **autres secteurs**, souvent à un stade plus avancé de la carrière.

# Distribution des clusters par génération



# Distribution des clusters par sexe



## Conclusion et perspectives

- **Spécialisation d'une grande partie de la population dans le secteur financier** : La finance domine les trois clusters, avec une prédominance écrasante dans le cluster 1 et une importance marquée dans le cluster 3. Cette spécialisation se manifeste dès le début des carrières, indiquant un alignement rapide vers le secteur financier pour une grande partie des associés-gérants.
- **Persistence du pantouflage** : Le cluster 2 illustre la persistance du 'pantouflage', c'est-à-dire des passages par la haute administration française en début de carrière avant un passage dans le secteur privé.
- **La finance comme tremplin** : Le cluster 3 suggère que la finance peut également constituer un tremplin pour accéder à d'autres secteurs. Bien que cela reste à démontrer, on suppose qu'il s'agit de l'accès à des postes de premier plan.



# Bibliographie

- ABBOTT, A., & FORREST, John. Optimal matching methods for historical sequences. *The Journal of Interdisciplinary History*, 1986, Vol. 16(3), pp. 471-494.
- BARBU, V. S., & LIMNIOS, N. (2008). *Semi-Markov Chains and Hidden Semi-Markov Models Toward Applications: Their Use in Reliability and DNA Analysis*. New York: Springer Science and Business Media.
- CARDOT, H., LECUELLE, G., SCHLICH, P., & VISALLI, M. (2019). Estimating Finite Mixtures of Semi-Markov Chains: An Application to the Segmentation of Temporal Sensory Data, *Journal of the Royal Statistical Society Series C: Applied Statistics*, Vol. 68, pp. 1281–1303.
- DUDOUET, F., & VION, A. (2024). III / Les carrières de dirigeants. *Sociologie des dirigeants de grandes entreprises*. La Découverte, pp. 46-63.
- KOCH, M., FORGUES, B., & MONTIES, V. (2017). The way to the top: Career patterns of Fortune 100 CEOs. *Human Resource Management*, Vol. 56(2), pp. 267-285.
- PYKE, R. (1961) Markov renewal processes: definitions and preliminary properties. *Ann. Math. Statist.*, Vol. 32, pp. 1231–1242.